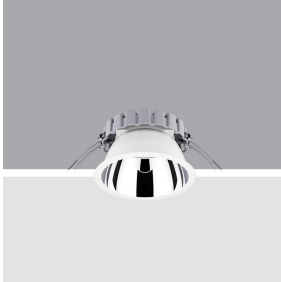


Ultimo aggiornamento delle informazioni: Febbraio 2025

Configurazione di prodotto: R453

R453: Ø 163 - 3000K - CRI90 - UGR<19



Codice prodotto

R453: Ø 163 - 3000K - CRI90 - UGR<19

Descrizione tecnica

Apparecchio rotondo fisso finalizzato all'utilizzo di sorgente LED con tecnologia C.o.B. Versione con falda per installazione ad appoggio. Riflettore metallizzato con vapori di alluminio sottovuoto con strato di protezione antigraffio. Dissipatore realizzato in alluminio pressofuso verniciato grigio. Prodotto completo di LED in tonalità di colore warm white (3000K) e microfilm in grado di garantire un'emissione luminosa UGR<19 L<3000 cd/mq ideale per ambienti dove sono presenti videotermini.

Installazione

Ad incasso tramite molle di torsione che consentono una facile installazione su controsoffitti con spessore a partire da 1 mm fino a 20 mm.

Colore

Bianco/Alluminio (39)

Peso (Kg)

0.68

Montaggio

a soffitto

Cablaggio

Prodotto completo di componentistica DALI

Note

Versioni TPa disponibili su richiesta, contattare iGuzzini per maggiori informazioni

Soddisfa EN60598-1 e relative note



IP20

IP54

Sul prodotto visibile dopo l'installazione



pending

Dati tecnici

| | | | |
|----------------------------------------------|------|------------------------------------|---------------------------------|
| Im di sistema: | 1113 | Temperatura colore [K]: | 3000 |
| W di sistema: | 10.3 | MacAdam Step: | 2 |
| Im di sorgente: | 1250 | Life Time LED 1: | > 50,000h - L90 - B10 (Ta 25°C) |
| W di sorgente: | 8.3 | Codice lampada: | LED |
| Efficienza luminosa (lm/W, dati di sistema): | 108 | Numero di lampade per vano ottico: | 1 |
| Im in modalità emergenza: | - | Codice ZVEI: | LED |
| Flusso totale emesso a 90° o superiore [Lm]: | 0 | Numero di vani ottici: | 1 |
| Light Output Ratio (L.O.R.) [%]: | 89 | Control: | DALI-2 |
| CRI (minimo): | 90 | | |

Polare

| Imax=798 cd | CIE nL 0.89 84-99-100-100-89 UGR 18.0-18.0 DIN A.61 UTE 0.89A+0.00T F*1=842 F*1+F*2=994 F*1+F*2+F*3=1000 CIBSE LG3 L<1500 cd/m² at 65° UGR<19 L<1500 cd/mq @65° | Lux | | | |
|-------------|----------------------------------------------------------------------------------------------------------------------------------------------------------------------------------------------------------|-----|-----|-----|------------------|
| | | h | d | Em | E _{max} |
| 90° | | 1 | 1.5 | 584 | 751 |
| 750 | | 2 | 3 | 146 | 188 |
| | | 3 | 4.5 | 65 | 83 |
| α=74° | | 4 | 6 | 37 | 47 |

Coefficienti di utilizzazione

| R | 77 | 75 | 73 | 71 | 55 | 53 | 33 | 00 | DRR |
|------|----|----|----|----|----|----|----|----|-----|
| K0.8 | 74 | 68 | 64 | 61 | 67 | 64 | 63 | 59 | 67 |
| 1.0 | 79 | 73 | 70 | 67 | 72 | 69 | 69 | 65 | 73 |
| 1.5 | 85 | 81 | 78 | 75 | 80 | 77 | 76 | 73 | 82 |
| 2.0 | 88 | 85 | 83 | 81 | 84 | 82 | 81 | 78 | 88 |
| 2.5 | 90 | 88 | 86 | 85 | 87 | 85 | 84 | 81 | 91 |
| 3.0 | 92 | 90 | 88 | 87 | 88 | 87 | 86 | 83 | 93 |
| 4.0 | 93 | 91 | 90 | 89 | 90 | 89 | 88 | 85 | 95 |
| 5.0 | 94 | 92 | 91 | 91 | 91 | 90 | 88 | 86 | 96 |

Curva limite di luminanza

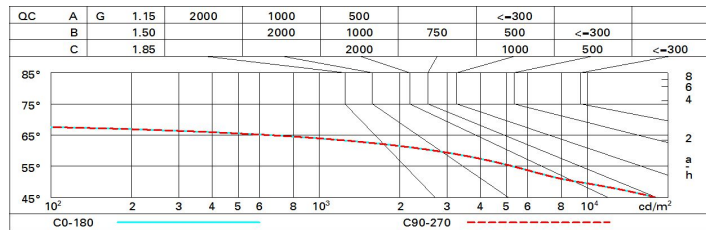


Diagramma UGR

| Corrected UGR values (at 1250 lm bare lamp luminous flux) | | | | | | | | | | | |
|-----------------------------------------------------------|------|------------------|------|------|------|------|----------------|------|------|------|------|
| Reflect.: | | viewed crosswise | | | | | viewed endwise | | | | |
| ceil/cav | | 0.70 | 0.70 | 0.50 | 0.50 | 0.30 | 0.70 | 0.70 | 0.50 | 0.50 | 0.30 |
| walls | | 0.50 | 0.30 | 0.50 | 0.30 | 0.30 | 0.50 | 0.30 | 0.50 | 0.30 | 0.30 |
| work pl. | | 0.20 | 0.20 | 0.20 | 0.20 | 0.20 | 0.20 | 0.20 | 0.20 | 0.20 | 0.20 |
| Room dim | | viewed crosswise | | | | | viewed endwise | | | | |
| x | y | | | | | | | | | | |
| 2H | 2H | 18.5 | 19.3 | 18.8 | 19.5 | 19.7 | 18.5 | 19.3 | 18.8 | 19.5 | 19.7 |
| | 3H | 18.4 | 19.0 | 18.7 | 19.3 | 19.6 | 18.4 | 19.1 | 18.7 | 19.4 | 19.6 |
| | 4H | 18.3 | 18.9 | 18.6 | 19.2 | 19.5 | 18.3 | 19.0 | 18.7 | 19.3 | 19.6 |
| | 6H | 18.2 | 18.8 | 18.6 | 19.1 | 19.4 | 18.2 | 18.8 | 18.6 | 19.1 | 19.5 |
| | 8H | 18.2 | 18.7 | 18.5 | 19.0 | 19.4 | 18.2 | 18.8 | 18.6 | 19.1 | 19.4 |
| | 12H | 18.1 | 18.7 | 18.5 | 19.0 | 19.4 | 18.2 | 18.7 | 18.6 | 19.0 | 19.4 |
| 4H | 2H | 18.3 | 19.0 | 18.7 | 19.3 | 19.6 | 18.3 | 18.9 | 18.6 | 19.2 | 19.5 |
| | 3H | 18.2 | 18.7 | 18.6 | 19.0 | 19.4 | 18.2 | 18.7 | 18.6 | 19.0 | 19.4 |
| | 4H | 18.1 | 18.5 | 18.5 | 18.9 | 19.3 | 18.1 | 18.5 | 18.5 | 18.9 | 19.3 |
| | 6H | 18.0 | 18.4 | 18.4 | 18.8 | 19.2 | 18.0 | 18.4 | 18.4 | 18.8 | 19.2 |
| | 8H | 18.0 | 18.3 | 18.4 | 18.7 | 19.2 | 18.0 | 18.3 | 18.4 | 18.7 | 19.2 |
| | 12H | 17.9 | 18.2 | 18.4 | 18.7 | 19.1 | 17.9 | 18.2 | 18.4 | 18.7 | 19.1 |
| 8H | 4H | 18.0 | 18.3 | 18.4 | 18.7 | 19.2 | 18.0 | 18.3 | 18.4 | 18.7 | 19.2 |
| | 6H | 17.9 | 18.2 | 18.3 | 18.6 | 19.1 | 17.9 | 18.2 | 18.3 | 18.6 | 19.1 |
| | 8H | 17.8 | 18.1 | 18.3 | 18.5 | 19.0 | 17.8 | 18.1 | 18.3 | 18.5 | 19.0 |
| | 12H | 17.8 | 18.0 | 18.3 | 18.5 | 19.0 | 17.8 | 18.0 | 18.3 | 18.5 | 19.0 |
| 12H | 4H | 17.9 | 18.2 | 18.4 | 18.7 | 19.1 | 17.9 | 18.2 | 18.4 | 18.7 | 19.1 |
| | 6H | 17.8 | 18.1 | 18.3 | 18.5 | 19.0 | 17.8 | 18.1 | 18.3 | 18.5 | 19.0 |
| | 8H | 17.8 | 18.0 | 18.3 | 18.5 | 19.0 | 17.8 | 18.0 | 18.3 | 18.5 | 19.0 |
| Variations with the observer position at spacing: | | | | | | | | | | | |
| S = | 1.0H | 2.4 / -5.9 | | | | | 2.4 / -5.9 | | | | |
| | 1.5H | 4.6 / -13.0 | | | | | 4.6 / -13.0 | | | | |
| | 2.0H | 6.6 / -33.9 | | | | | 6.6 / -33.9 | | | | |